



Motivation

- Quanteneffekte in der molekularen Dynamik, z. B.
 - Quantisierung, Tunneln, etc.
 - Nicht-adiabatische Effekte
 - Photoinduzierte Prozesse, (nicht-)lineare Spektroskopie
 - Analyse und Kontrolle der molekularen Quantendynamik
- Gegenwärtiger "Stand der Kunst"
 - Exakte Quantendynamik kleine Moleküle
 - approx. Quantendynamik mittlere Moleküle
 - Trajektorien-basierte Methoden große Moleküle
- ⇒ Quantenklassische Modellierung berücksichtigt Quanteneffekte in einem kleinen Subsystem

Modellierung

- Molekulare Dynamik (Dipol μ) und gepulstes Feld $F(t)$ (z. B. fs-Laser)

$$H = \frac{\vec{p}^2}{2M} + \frac{\vec{q}^2}{2m} + U(\vec{r}, R) + \underbrace{\mu(\vec{r}, R) \cdot F(\Omega) \sin(\omega t)}_{V_{\text{ext}}}$$
- Separation der Massenskalen
 - (Wenige) leichte Teilchen: m, \vec{r}, \vec{p}
 - (Viele) schwere Teilchen: M, R, P
 - $\epsilon = \sqrt{m/M} \ll 1$ als Adiabatisitäts-Parameter
- Separation der Zeitskalen
 - Schnelle Trägerfrequenz: ω (auch Pulsmode)
 - Langsame Modulation: Ω (Pulsform und "chirp")
 - $\gamma = \Omega/\omega \ll 1$ als Adiabatisitäts-Parameter

Floquet-Basis für molekulare Dynamik

- Diabatische Basis (bzgl. r, t) "dressed states"

$$\begin{aligned} \text{Molekül: } & V_1(R) | \phi_n^{di}(R) \rangle = E_n(R) | \phi_n^{mo}(R) \rangle \\ & - i\hbar \frac{\partial}{\partial r} |\phi_n^{mo}(R)\rangle = m |\epsilon_m\rangle \\ \text{Mol. und Feld: } & |\psi_n^{di}(R, \omega)\rangle = |\phi_n^{mo}(R)\rangle \otimes |\epsilon_m\rangle \\ V_{nm|n'm'} & = \langle (\phi_n^{mo}(R, \omega) | V_1(R) + V_{\text{int}}(R, F, \omega) | \phi_{n'm'}^{mo}(R, \omega)) \rangle \\ & = (E_n(R) + m\hbar\omega) \delta_{nm} \delta_{mm'} + \frac{1}{2} \langle \phi_n^{mo}(R) \cdot F(t) (\delta_{nm} \omega_t + \delta_{mm'} \omega) \rangle \end{aligned}$$
- Adiabatische Basis (bzgl. r, t) "instantaneous Floquet-Zustände"

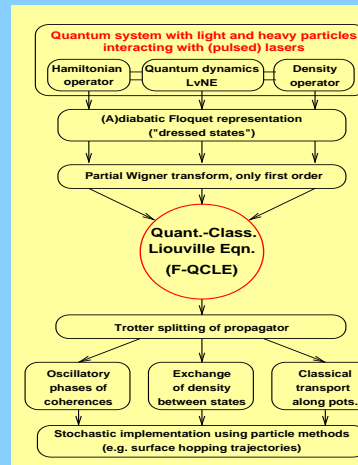
$$\begin{aligned} |\psi_n^{ad}(R, F, \omega)\rangle &= \sum_m \sigma_{nm}(R, F, \omega) |\phi_n^{di}(R)\rangle \\ (V_1(R) + V_{\text{int}}(F, \omega)) |\psi_n^{ad}(R, F, \omega)\rangle &= \mathcal{E}_n(R, F, \omega) |\psi_n^{ad}(R, F, \omega)\rangle \end{aligned}$$
- Vorteil: Elimination der schnellen Oszillationen ω

Quanten-klassische Liouville Gleichung

- Partielle Wigner-Transformation der Quanten-Liouville Gl. (bzgl. R)

$$\partial_t \rho_W = -\frac{i}{\epsilon} [H, \rho_W] - \frac{-i}{\epsilon} [H_W, \rho_W] - \frac{1}{2} \{ [H_W, \rho_W] - \{ H_W, \rho_W \} \} + \mathcal{O}(\epsilon)$$
- Diabatische bzw. adiabatische Floquet-Darstellung

$$\begin{aligned} \partial_t \rho_W^{di} &= -\frac{i}{\epsilon} [\mathcal{V} - i\epsilon P \cdot \mathcal{C}, \rho_W^{di}] - P \cdot \nabla_R \rho_W^{di} + \frac{1}{2} [\nabla_R \rho_W^{di}, \nabla_P \rho_W^{di}] + \\ \partial_t \rho_W^{ad} &= -\frac{i}{\epsilon} [\mathcal{E} - i\epsilon P \cdot \mathcal{D} - i\epsilon \omega \mathcal{F} \mathcal{G}, \rho_W^{ad}] - P \cdot \nabla_R \rho_W^{ad} + \frac{1}{2} [\nabla_R \rho_W^{ad}, \nabla_P \rho_W^{ad}] + \end{aligned}$$
- Nichtadiabatische Effekte
 - Kinetisch: $\mathcal{C} = (\langle \varphi^{di} | \nabla_R | \varphi^{di} \rangle)$
 - Feldmodulation: $\mathcal{G} = (\langle \varphi^{ad} | \nabla_F | \varphi^{ad} \rangle)$
 - hochfrequenter Feldanteil verschwindet mit Floquet-Transformation



Numerische Implementierung

- Realisierung mit trajektorien-basierten Verfahren
 - Aufspaltung der Liouville-Superoperatoren
 - z. B. "surface hopping"-artige Algorithmen
 - z. B. "multithreading/spawning" Algorithmen
 - Große Zeitschritt durch Floquet-Basis möglich
- Discussion
 - Beschreibung der Dynamik vieler ($\approx 10^3$) Teilchen
 - Um Berücksichtigung von Quanteneffekten
 - Beschreibung auch von Multiphonondurchgängen im Floquet-Bild (keine Störungstheorie!)
 - Flexibilität bzgl. Pulsform: Multimode-Floquet, "chirping"

Beispiel: F₂ Photodissociation

Laser pulse

Rate curves of fragments

- Elektronische Anregung in repulsiven Zustand: ${}^1\Sigma_g \rightarrow {}^1\Pi_u$
- Effektive Dynamik: Zwei Floquet-Zustände ($0.1 < \omega < 0.2$)
- Nichtadiabatische Effekte im Bereich der (vermiedenen) Kreuzung der Floquet-Zustände

Quanten-mechanische vs. quanten-klassische Dichten

FQCL (numerisch berechnet) QM

- Lösung der FQCL mit "surface hopping" (Tully)
- Quantitative Übereinstimmung mit voller Quantendynamik
- Einfache Übertragung auf
 - mehr klassische Freiheitsgrade
 - mehr Floquet-Zustände

Populations-Dynamik

1000 Impulse/ps

10000 Impulse/ps

- Langer Zeitschritt ($\geq 2\pi$) nur abhängig von
 - Zeitabhängigkeit der Einhüllenden des Feldes $F(\Omega)$
 - molekulärer Dynamik in angeregten Zustand
- Populationsinversion für sehr intensive, kurze Laserpulse nicht mit Störungstheorie beschreibbar